

# Méthodes mathématiques de la théorie quantique - 2022

Bases de l'Information quantique - Day 3

Nana Engo

Department of Physics  
Faculty of Science  
University of Yaounde I

<https://github.com/NanaEngo/Memaquan2022>

Porto-Novo - 11-15 Juillet 2022



- 1 Généralités et notion de calculateur
- 2 Portes single-qubit
- 3 Portes de contrôle
- 4 Portes quantiques universelles



# Généralités et notion de calculateur

## Calculateur classique

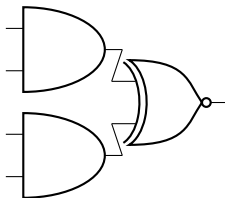
### Definition (Calculateur classique)

Un état de  $n$  bits d'un calculateur classique ou registre classique de taille  $n$ , ne peut stocker, en instant donné, qu'un seul entier  $i \in [0, 2^n - 1]$ , correspondant à  $2^n$  configurations, décrit en notation binaire par

$$i = i_{n-1}2^{n-1} + \dots + i_12^1 + i_02^0 = \sum_{m=0}^{n-1} i_m 2^m \quad i_m \in [0, 1]$$

Exemple : 3 bits physiques  $\Rightarrow 2^3 = 8$  configurations différentes (0 à 7 en binaire)

000  $\equiv$  0    001  $\equiv$  1    010  $\equiv$  2    011  $\equiv$  3    100  $\equiv$  4    101  $\equiv$  5    110  $\equiv$  6    111  $\equiv$  7



Exemple de circuit logique classique (2 portes AND et 1 porte XNOR)



# Généralités et notion de calculateur

## Calculateur classique - Contraintes

### Principe de Landauer (dissipation de la chaleur)



Chaque fois qu'un bit d'information est effacé, son entropie augmente d'au moins  $k_B \ln 2$  et la quantité d'énergie dissipée dans l'environnement (circuit) vaut au moins  $k_B T \ln 2$ ,  $T$  étant la température absolue de l'environnement.

### Theorem (Théorème de Margolus-Levitin)

*La vitesse ou le nombre d'opérations effectuées dans un temps donné, à laquelle toute machine ou tout autre procédé réalisable permettant de calculer, et utilisant une quantité d'énergie  $E$  donnée, ne peut pas être supérieur à  $6 \times 10^{33}$  opérations par seconde par joule d'énergie.*

- Le Théorème de Margolus-Levitin, tout comme le Principe de Landauer, constitue une limite fondamentale à la loi de Koomey selon laquelle le nombre de calculs, pour une quantité d'énergie dépensée donnée, double tous les 18 mois



### Definition (Bit quantique ou qubit)

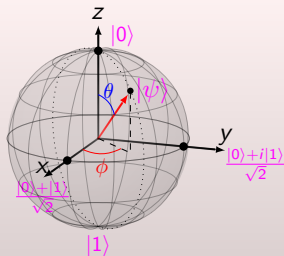
Le **qubit** est l'unité de traitement de l'information quantique.

$$|\psi\rangle = \alpha |0\rangle + \beta |1\rangle$$

$$\alpha, \beta \in \mathbb{C}$$

$$|\alpha|^2 + |\beta|^2 = 1$$

### Qubit sur la sphere de Bloch



- Pour  $0 \leq \theta \leq \pi$  et  $0 \leq \phi < 2\pi$ ,  
 $|\psi\rangle = \cos \frac{\theta}{2} |0\rangle + e^{i\phi} \sin \frac{\theta}{2} |1\rangle$
- Pour  $\theta = 0$  et  $\phi$ ,  $|\psi\rangle = |0\rangle$
- Pour  $\theta = \pi$  et  $\phi$ ,  $|\psi\rangle = |1\rangle$
- Pour  $\theta = \frac{\pi}{2}$  et  $\phi = 0$ ,  $|\psi\rangle = \frac{|0\rangle + |1\rangle}{\sqrt{2}}$
- Pour  $\theta = \frac{\pi}{2}$  et  $\phi = \frac{\pi}{2}$ ,  $|\psi\rangle = \frac{|0\rangle + i|1\rangle}{\sqrt{2}}$



# Généralités et notion de calculateur

## Calculateur quantique et parallélisme quantique

### Definition (Calculateur quantique)

Un **calculateur quantique** est une collection de  **$n$  qubits** qui représente un **registre quantique de taille  $n$**

$$\begin{aligned} |\psi\rangle &= \sum_{i=0}^{2^n-1} c_i |i\rangle = \sum_{i_{n-1}=0}^1 \cdots \sum_{i_1=0}^1 \sum_{i_0=0}^1 c_{i_{n-1}, \dots, i_1, i_0} |i_{n-1}\rangle \otimes \cdots \otimes |i_1\rangle \otimes |i_0\rangle \\ &= \sum_{i_{n-1}, \dots, i_1, i_0} c_{i_{n-1}, \dots, i_1, i_0} |i_{n-1} \cdots i_1 i_0\rangle \quad \sum_{i=0}^{2^n-1} |c_i|^2 = 1 \end{aligned}$$

- **Parallélisme quantique.** Grâce à la superposition d'états, un registre quantique de  $n$  qubits peut stocker  $2^n$  nombres et effectuer en parallèle un grand nombre d'opérations simultanément
- Exemple : Pour  $n = 2$ , un état générique de 2-qubits s'écrit

$$|\psi\rangle = c_0 |0\rangle + c_1 |1\rangle + c_2 |2\rangle + c_3 |3\rangle = c_{00} |00\rangle + c_{01} |01\rangle + c_{10} |10\rangle + c_{11} |11\rangle$$



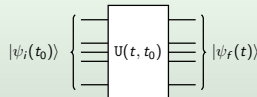
# Généralités et notion de calculateur

## Principe du calcul quantique

- $i \in \{0, 1\}^n$  est une chaîne binaire de taille  $n \Rightarrow |i\rangle \in \mathcal{H}^{\otimes n}$  ( $2^n$  dim)

### Principe d'un calcul quantique

- 1 **Préparation** de  $n$  qubits dans l'état  $|\psi_i(t_0)\rangle$
- 2 **Implémentation** de la transformation unitaire désirée ou souhaitée  $U(t, t_0)$ ,  
 $|\psi_f(t)\rangle = U(t, t_0) |\psi_i(t_0)\rangle$
- 3 **Mesure** sur les  $n$  qubits afin d'obtenir  $|\psi_f(t)\rangle$



- **L'évolution unitaire  $U(t, t_0)$  est réversible** : connaissant le vecteur d'état au temps  $t$ , on peut remonter à celui au temps  $t_0$  par  $U^{-1}(t, t_0) = U(t_0, t)$

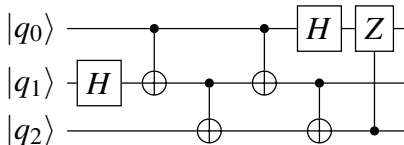
Calcul quantique  $\equiv$  évolution quantique réversible  $\Rightarrow$  ~~dissipation de chaleur~~



# Généralités et notion de calculateur

## Éléments d'un circuit quantique

- **Porte logique quantique** : dispositif qui réalise une opération unitaire fixe sur un qubit donné, pendant une période de temps donnée
- **Réseau ou circuit quantique** : dispositif constitué de portes logiques quantiques dont les séquences de calculs sont synchronisées dans le temps
- **Taille du circuit** : nombre de portes logiques quantiques du réseau
- **Largeur du circuit** : nombre de fils du réseau



Circuit quantique de 7 portes logiques et de taille 3





# Portes single-qubit

Portes unitaires single-qubit les plus usuelles

| Porte            | Diagramme  | Matrice dans $\{ 0\rangle,  1\rangle\}$                            |
|------------------|--|--|
| Pauli X          | $ k\rangle \text{ --- } \boxed{\text{X}} \text{ --- }  1-k\rangle$   | $\begin{pmatrix} 0 & 1 \\ 1 & 0 \end{pmatrix}$                     |
| Pauli Y          | $ k\rangle \text{ --- } \boxed{\text{Y}} \text{ --- } i(-1)^k  1-k\rangle$                                 | $\begin{pmatrix} 0 & -i \\ i & 0 \end{pmatrix}$                    |
| Pauli Z          | $ k\rangle \text{ --- } \boxed{\text{Z}} \text{ --- } (-1)^k  k\rangle$                                    | $\begin{pmatrix} 1 & 0 \\ 0 & -1 \end{pmatrix}$                    |
| Walsh-Hadamard W | $ k\rangle \text{ --- } \boxed{\text{W}} \text{ --- } \frac{1}{\sqrt{2}} [(-1)^k  k\rangle +  1-k\rangle]$ | $\frac{1}{\sqrt{2}} \begin{pmatrix} 1 & 1 \\ 1 & -1 \end{pmatrix}$ |
| Phase-Shift      | $ k\rangle \text{ --- } \bullet^\delta \text{ --- } e^{ik\delta}  k\rangle$                                | $\begin{pmatrix} 1 & 0 \\ 0 & e^{i\delta} \end{pmatrix}$           |
| Phase            | $ k\rangle \text{ --- } \boxed{\text{S}} \text{ --- } (i)^k  k\rangle$                                     | $\begin{pmatrix} 1 & 0 \\ 0 & i \end{pmatrix}$                     |
| $\frac{\pi}{8}$  | $ k\rangle \text{ --- } \boxed{\text{T}} \text{ --- } e^{ik\pi/4}  k\rangle$                               | $\begin{pmatrix} 1 & 0 \\ 0 & e^{i\pi/4} \end{pmatrix}$            |
| square root NOT  | $ k\rangle \text{ --- } \boxed{\sqrt{\text{X}}} \text{ --- } \frac{1+i}{2} [ k\rangle - i  1-k\rangle]$    | $\frac{1+i}{2} \begin{pmatrix} 1 & -i \\ -i & 1 \end{pmatrix}$     |



# Portes single-qubit I

## Porte Walsh-Hadamard W

### Definition (Porte de Walsh-Hadamard W)

La **porte de Walsh-Hadamard** définie par la matrice

$$W = \frac{1}{\sqrt{2}} \begin{pmatrix} 1 & 1 \\ 1 & -1 \end{pmatrix}$$

permet de transformer les états de base  $\{|0\rangle, |1\rangle\}$  en état superposés

$$W|0\rangle = \frac{1}{\sqrt{2}}(|0\rangle + |1\rangle)$$

$$W|1\rangle = \frac{1}{\sqrt{2}}(|0\rangle - |1\rangle)$$

$$W|k\rangle = \frac{1}{\sqrt{2}}((-1)^k |k\rangle + |1-k\rangle)$$

$$|k\rangle \longrightarrow \boxed{W} \longrightarrow \frac{1}{\sqrt{2}}((-1)^k |k\rangle + |1-k\rangle)$$



# Portes single-qubit II

## Porte Walsh-Hadamard W

- La porte W permet d'implémenter le **parallélisme quantique** à l'origine de l'accélération exponentielle d'un calcul quantique pour la résolution de certains problèmes

$$|0\rangle^{\otimes 3} \left\{ \begin{array}{c} \boxed{W} \\ \boxed{W} \\ \boxed{W} \end{array} \right\} \left( \frac{1}{\sqrt{2}}(|0\rangle + |1\rangle) \right)^{\otimes 3} = \frac{1}{\sqrt{2^3}}(|0\rangle + |1\rangle + |2\rangle + |3\rangle + |4\rangle + |5\rangle + |6\rangle + |7\rangle)$$

- Si initialement on a un registre de taille  $n$  dans un état  $y \in \{0, 1\}^n$ , alors

$$W^{\otimes n} |y\rangle = \frac{1}{\sqrt{2^n}} \sum_{x=0}^{2^n-1} (-1)^{yx} |x\rangle = \frac{1}{\sqrt{2^n}} \sum_{x=0}^{2^n-1} e^{i\pi yx} |x\rangle$$

où le produit de  $y = (y_{n-1}y_{n-2} \cdots y_1y_0)$  et de  $x = (x_{n-1}x_{n-2} \cdots x_1x_0)$  est fait bit par bit

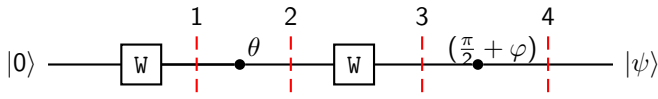
$$yx = (y_{n-1}x_{n-1} + y_{n-2}x_{n-2} + \cdots + y_1x_1 + y_0x_0)$$



# Portes single-qubit I

## Implémentation du 1-qubit générique

Les portes  $W$  et  $P(\delta)$  suffisent pour construire toute opération unitaire sur un 1-qubit



- Il est à noter que le diagramme se lit de gauche à droite alors que le produit d'opérateurs se lit de droite à gauche



# Portes single-qubit II

## Implémentation du 1-qubit générique

- Ce circuit quantique s'écrit vectoriellement sous la forme

$$\begin{aligned} |\psi\rangle &= \underbrace{P\left(\frac{\pi}{2} + \varphi\right)}_4 \underbrace{W}_3 \underbrace{P(\theta)W}_2 \underbrace{|0\rangle}_1 \\ &\stackrel{1}{=} \underbrace{P\left(\frac{\pi}{2} + \varphi\right)}_4 \underbrace{W}_3 \underbrace{P(\theta)}_2 \frac{1}{\sqrt{2}}(|0\rangle + |1\rangle) \\ &\stackrel{2}{=} \underbrace{P\left(\frac{\pi}{2} + \varphi\right)}_4 \underbrace{W}_3 \frac{1}{\sqrt{2}}(|0\rangle + e^{i\theta}|1\rangle) = \underbrace{P\left(\frac{\pi}{2} + \varphi\right)}_4 \underbrace{W}_3 \frac{e^{i\frac{\theta}{2}}}{\sqrt{2}}(e^{-i\frac{\theta}{2}}|0\rangle + e^{i\frac{\theta}{2}}|1\rangle) \\ &\stackrel{3}{=} \underbrace{P\left(\frac{\pi}{2} + \varphi\right)}_4 \frac{e^{i\frac{\theta}{2}}}{\sqrt{2}}(e^{-i\frac{\theta}{2}}\left(\frac{1}{\sqrt{2}}(|0\rangle + |1\rangle) + e^{i\frac{\theta}{2}}\frac{1}{\sqrt{2}}(|0\rangle - |1\rangle)\right)) \\ &= \underbrace{P\left(\frac{\pi}{2} + \varphi\right)}_4 e^{i\frac{\theta}{2}}\left(\cos\frac{\theta}{2}|0\rangle - i\sin\frac{\theta}{2}|1\rangle\right) \\ &\stackrel{4}{=} e^{i\frac{\theta}{2}}\left(\cos\frac{\theta}{2}|0\rangle + e^{i\varphi}\sin\frac{\theta}{2}|1\rangle\right) \equiv \cos\frac{\theta}{2}|0\rangle + e^{i\varphi}\sin\frac{\theta}{2}|1\rangle \end{aligned}$$



# Portes de contrôle I

## Porte Controlled-U ou CU

- Les portes **CU** sont des **portes de contrôle** U qui traduisent quantiquement  $\text{if } (x) \text{ then } y \leftarrow U^x y$  par

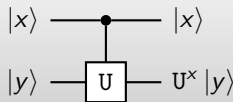
$$|x\rangle |y\rangle \mapsto |x\rangle U^x |y\rangle$$

qui correspond, pour  $x, y \in \{0, 1\}$ , à

$$|0\rangle |0\rangle \rightarrow |0\rangle |0\rangle \quad |0\rangle |1\rangle \rightarrow |0\rangle |1\rangle \quad |1\rangle |0\rangle \rightarrow |1\rangle U |0\rangle \quad |1\rangle |1\rangle \rightarrow |1\rangle U |1\rangle$$

Dans la base  $\{|00\rangle, |01\rangle, |10\rangle, |11\rangle\}$ , où  $\mathbb{I}$ ,  $\mathbb{O}$  et  $U$  sont des matrices  $2 \times 2$

$$CU = |0\rangle \langle 0| \otimes \mathbb{I} + |1\rangle \langle 1| \otimes U = \begin{pmatrix} \mathbb{I} & \mathbb{O} \\ \mathbb{O} & U \end{pmatrix}$$



# Portes de contrôle II

## Porte Controlled-U ou CU

- Le 1er bit  $|x\rangle$  agit comme **contrôle** et sa valeur reste inchangée à la sortie. Le 2e bit  $|y\rangle$  est appelé **cible**. Sur le diagramme, le contrôle est représenté le point noir

### Une porte CU applique

- la transformation identité  $\mathbb{I}$  au bit cible lorsque le bit de contrôle est dans l'état  $|0\rangle$
- la transformation  $U$  au bit cible lorsque le bit de contrôle est dans l'état  $|1\rangle$
- Puisque pour  $x \in \{0, 1\}$ ,  $U^{2^x} = \mathbb{I}$  et les **opérateurs CU sont unitaires**
- Pour une transformation unitaire quelconque  $U : (x, y) \rightarrow (x, y \oplus f(x))$ , on a

$$|\psi\rangle = \text{CU}(\alpha|0\rangle + \beta|1\rangle)|0\rangle = \alpha|0f(0)\rangle + \beta|1f(1)\rangle$$

qui contient **à la fois** l'information sur  $f(0)$  et sur  $f(1)$



# Portes de contrôle I

## Porte CNOT

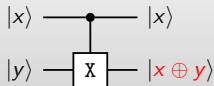
### Definition (Porte CNOT)

CNOT ou CX est la plus populaire des portes CU

$$CX = |0\rangle\langle 0| \otimes \mathbb{I} + |1\rangle\langle 1| \otimes X = \begin{pmatrix} \mathbb{I} & 0 \\ 0 & X \end{pmatrix} = \begin{pmatrix} 1 & 0 & 0 & 0 \\ 0 & 1 & 0 & 0 \\ 0 & 0 & 0 & 1 \\ 0 & 0 & 1 & 0 \end{pmatrix}$$

qui inverse le bit cible  $|y\rangle$  lorsque le bit de contrôle  $|x\rangle \equiv |1\rangle$

$$CX |x\rangle |y\rangle = |x\rangle |x \oplus y\rangle$$



| x | y | x | $x \oplus y$ |
|---|---|---|--------------|
| 0 | 0 | 0 | 0            |
| 0 | 1 | 0 | 1            |
| 1 | 0 | 1 | 1            |
| 1 | 1 | 1 | 0            |





# Portes de contrôle II

## Porte CNOT

- On note sur la table de vérité que lorsque la cible  $|y\rangle \equiv |0\rangle$  la porte CX devient la porte COPY (clonage de  $|x\rangle$ ) :  $|x\rangle |0\rangle \mapsto |x\rangle |x\rangle$ ,  $x \in \{0, 1\}$

$$CX(\alpha |0\rangle + \beta |1\rangle) |0\rangle = \alpha |00\rangle + \beta |11\rangle$$

qui est non factorisable pour  $\alpha, \beta \neq 0$ .

La porte CNOT génère des états intriqués

## Theorem

*Toute opération unitaire sur  $\mathcal{H}^{\otimes n}$  peut se décomposer en produit d'opérations unitaires single qubit (1-qubit) et de CNOT.*

- Nous utiliserons la notation abrégée  $CU_{[ij]}$  pour indiquer que le qubits  $i$  est le contrôle et le qubits  $j$  la cible. Par exemple,

$$CX_{[12]} |xy\rangle = CX |xy\rangle = |x\rangle |x \oplus y\rangle$$

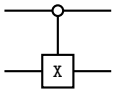
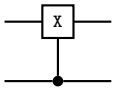
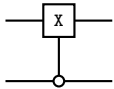
$$CX_{[21]} |xy\rangle = |x \oplus y\rangle |y\rangle$$



# Portes de contrôle III

## Porte CNOT

- Ainsi, les trois autres matrices CNOT sont, pour  $P_0 = |0\rangle\langle 0|$  et  $P_1 = |1\rangle\langle 1|$

| $CX_{[12]}^- = P_0 \otimes X + P_1 \otimes \mathbb{I}$   | $CX_{[21]} = X \otimes P_1 + \mathbb{I} \otimes P_0$   | $CX_{[21]}^- = \mathbb{I} \otimes P_1 + X \otimes P_0$   |
|--|--|--|
| $\begin{pmatrix} 0 & 1 & 0 & 0 \\ 1 & 0 & 0 & 0 \\ 0 & 0 & 1 & 0 \\ 0 & 0 & 0 & 1 \end{pmatrix}$ | $\begin{pmatrix} 1 & 0 & 0 & 0 \\ 0 & 0 & 0 & 1 \\ 0 & 0 & 1 & 0 \\ 0 & 1 & 0 & 0 \end{pmatrix}$ | $\begin{pmatrix} 0 & 0 & 1 & 0 \\ 0 & 1 & 0 & 0 \\ 1 & 0 & 0 & 0 \\ 0 & 0 & 0 & 1 \end{pmatrix}$ |
|                 |                 |               |
| $CX_{[12]}^-$ inverse le 2e qubit lorsque le 1er est dans l'état $ 0\rangle$                     | $CX_{[21]}$ inverse le 1er qubit lorsque le 2e est dans l'état $ 1\rangle$                       | $CX_{[21]}^{-1}$ inverse le 1er qubit lorsque le 2e est dans l'état $ 0\rangle$                  |

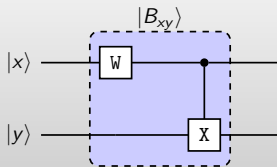
- cercle noir** = opération de contrôle positif ou qubit cible inversé lorsque le contrôle est  $|1\rangle$
- cercle vide** = opération de contrôle négatif ou qubit cible inversé lorsque le contrôle est  $|0\rangle$



# Portes de contrôle

## Génération des états de Bell - États maximalement intriqués

- Circuit générant les états intriqués de Bell



$$\begin{aligned} |B_{xy}\rangle &= CX(W \otimes I) |xy\rangle \quad x, y \in \{0, 1\} \\ &= \frac{1}{\sqrt{2}}(|0y\rangle + (-1)^x |1(1-y)\rangle) \end{aligned}$$

- Ainsi,

$$\begin{aligned} |00\rangle &\rightarrow |B_{00}\rangle = \frac{1}{\sqrt{2}}(|00\rangle + |11\rangle) & |10\rangle &\rightarrow |B_{10}\rangle = \frac{1}{\sqrt{2}}(|00\rangle - |11\rangle) \\ |01\rangle &\rightarrow |B_{01}\rangle = \frac{1}{\sqrt{2}}(|01\rangle + |10\rangle) & |11\rangle &\rightarrow |B_{11}\rangle = \frac{1}{\sqrt{2}}(|01\rangle - |10\rangle) \end{aligned}$$



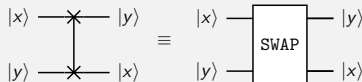
# Portes de contrôle

## Porte SWAP

### Definition (Porte SWAP)

La porte **SWAP** permute ou intervertit deux qubits

$$\text{SWAP} = \text{CXCX}_{[21]}\text{CX} = \begin{bmatrix} 1 & 0 & 0 & 0 \\ 0 & 0 & 1 & 0 \\ 0 & 1 & 0 & 0 \\ 0 & 0 & 0 & 1 \end{bmatrix}$$



- Par exemple, pour  $|\psi\rangle = (\alpha |0\rangle + \beta |1\rangle)$  et  $|\phi\rangle = (\delta |0\rangle + \gamma |1\rangle)$  on a

$$\begin{aligned} \text{CXCX}_{[21]}\text{CX} |\psi\rangle |\phi\rangle &= \text{CXCX}_{[21]}\text{CX}(\alpha |0\rangle + \beta |1\rangle)(\delta |0\rangle + \gamma |1\rangle) \\ &= \text{CXCX}_{[21]}(\alpha\delta |00\rangle + \alpha\gamma |01\rangle + \beta\delta |11\rangle + \beta\gamma |10\rangle) \\ &= \text{CX}(\alpha\delta |00\rangle + \alpha\gamma |11\rangle + \beta\delta |01\rangle + \beta\gamma |10\rangle) \\ &= (\alpha\delta |00\rangle + \alpha\gamma |10\rangle + \beta\delta |01\rangle + \beta\gamma |11\rangle) \\ &= \delta |0\rangle (\alpha |0\rangle + \beta |1\rangle) + \gamma |1\rangle (\alpha |0\rangle + \beta |1\rangle) \\ &= |\phi\rangle |\psi\rangle \end{aligned}$$

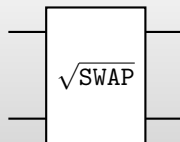


# Portes quantiques universelles

## Porte $\sqrt{\text{SWAP}}$

- Les portes universelles facilitent l'intégration à partir de portes pré-caractérisées
- Comme n'importe quelle fonction peut être synthétisée à l'aide des CNOT et 1-qubits  $W$ ,  $P(\delta)$  : (CNOT,  $W$ ,  $P(\delta)$ ) forme un ensemble infini de portes quantiques universelles
- La porte  $\sqrt{\text{SWAP}}$  qui effectue la moitié des chemins de deux qubits swap est universelle : n'importe quelle porte logique quantique peut être construite à partir de seulement la porte  $\sqrt{\text{SWAP}}$ , et des portes 1-qubit

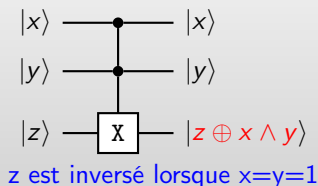
$$\sqrt{\text{SWAP}} = \begin{bmatrix} 1 & 0 & 0 & 0 \\ 0 & \frac{1}{2}(1+i) & \frac{1}{2}(1-i) & 0 \\ 0 & \frac{1}{2}(1-i) & \frac{1}{2}(1+i) & 0 \\ 0 & 0 & 0 & 1 \end{bmatrix}$$



# Portes quantiques universelles I

## Porte de TOFFOLI

La porte **TOFFOLI** ou porte **Controlled-Controlled-NOT** (CCNOT,  $C^2$ NOT) est une porte à trois bits d'entrée et de sortie



| $N^\circ$ | $x$ | $y$ | $z$ | $x$ | $y$ | $z \oplus x \wedge y$ |
|-----------|-----|-----|-----|-----|-----|-----------------------|
| 1         | 0   | 0   | 0   | 0   | 0   | 0                     |
| 2         | 0   | 0   | 1   | 0   | 0   | 1                     |
| 3         | 0   | 1   | 0   | 0   | 1   | 0                     |
| 4         | 0   | 1   | 1   | 0   | 1   | 1                     |
| 5         | 1   | 0   | 0   | 1   | 0   | 0                     |
| 6         | 1   | 0   | 1   | 1   | 0   | 1                     |
| 7         | 1   | 1   | 0   | 1   | 1   | 1                     |
| 8         | 1   | 1   | 1   | 1   | 1   | 0                     |

La porte CCNOT nous donne la connectivité logique nécessaire à l'arithmétique

- Lorsque le qubit cible  $|z\rangle$  est dans l'état  $|0\rangle$  (lignes 1, 3, 5, 7), la porte de CCNOT effectue l'opération AND

$$\text{CCNOT } |x\rangle |y\rangle |0\rangle = |x\rangle |y\rangle |x \wedge y\rangle$$



# Portes quantiques universelles II

## Porte de TOFFOLI

- Lorsque le qubit cible  $|z\rangle$  est dans l'état  $|1\rangle$  (lignes 2, 4, 6, 7), la porte de CCNOT effectue l'opération NAND

$$\text{CCNOT } |x\rangle |y\rangle |1\rangle = |x\rangle |y\rangle |x \bar{\wedge} y\rangle$$

- Lorsque le premier qubit de contrôle  $|x\rangle$  est dans l'état  $|1\rangle$  (lignes 5-8), la porte de CCNOT effectue l'opération CNOT

$$\text{CCNOT } |1\rangle |y\rangle |z\rangle = |1\rangle |y\rangle |z \oplus y\rangle$$

- Lorsque le premier qubit de contrôle  $|x\rangle$  est dans l'état  $|1\rangle$  et le qubit cible  $|z\rangle$  est dans l'état  $|0\rangle$  (lignes 5 et 7), la porte de CCNOT effectue l'opération COPY

$$\text{CCNOT } |1\rangle |y\rangle |0\rangle = |1\rangle |y\rangle |y\rangle$$

La porte de CCNOT, avec l'initialisation de valeur constante, est une porte universelle pour toutes les opérations réversibles de la logique booléenne.